

تأثير الإجهادات ومعدلات سرعة القص العالية على سلوكية جريان مزيج من بولي حمض اللبن وبولي كربونات (50/50) في الحالة المنصهرة

خاتون خليل الحمد^{1*}، فواز أحمد الديري²، باسلة أحمد إبراهيم³

¹طالبة دكتوراه، قسم الكيمياء، كلية العلوم، جامعة دمشق، دمشق، سوريا،
khatoon.alhamad@damascusuniversity.edu.sy

²الأستاذ الدكتور المهندس فواز الديري، قسم الكيمياء، كلية العلوم، جامعة دمشق، ريلوجيا المواد البلاستيكية،
[AL-Deri@damascusuniversity.edu.sy.](mailto:AL-Deri@damascusuniversity.edu.sy)

³الاستاذة الدكتورة باسلة إبراهيم، قسم الكيمياء، كلية العلوم، جامعة دمشق، كيمياء السيليكون،
[basela.Ibrahim@damascusuniversity.edu.sy.](mailto:basela.Ibrahim@damascusuniversity.edu.sy)

الملخص:

حُضّر مزيج من بولي حمض اللبن و بولي كربونات PLA/PC بنسبة (50/50) في الحالة المنصهرة تحت تأثير درجات الحرارة وإجهادات القص العالية، وذلك باستخدام مقاييس الزوجة ذي القالب الشعري، رُسمت تحولات إجهاد القص الظاهري بدلالة سرعة القص الظاهرية عند درجات حرارة متعددة (170, 180, 190, 200)، عُينت قيم دليل الجريان n للمزيج المدروس، وتبيّن لدينا من خلال الدراسة أن المزيج المدروس من فصيلة اللدائن الشبيهة بالبلاستيك ($n < 1$)، كما درست منحنىات باكلوي وذلك بدراسة تحولات الضغط P_c بدلالة النسبة L/R وتم تحديد قيمة ($e = 14$)، ومن خلال هذه المعطيات تم تعين الزوجة الحقيقية η ، ووجد أن الزوجة الحقيقية تتخلص مع ارتفاع إجهاد القص ومعدلات سرعة القص العالية. ولتعيين طاقة تنشيط الجريان درست تحولات الزوجة بدلالة مقاوم درجة الحرارة عند إجهاد قص ثابت وسرعة قص ثابتة، وتبيّن أن طاقة تنشيط الجريان عند إجهاد قص ثابت أكبر منها عند معدل سرعات القص الثابتة، ويعود ذلك إلى أن تغير الزوجة أقل تأثراً في هذه الحالة. ودرست مرنة المزيج المدروس باستخدام تقانة باروس (Barus)، تبيّن أن معدل الانفصال B يزداد بارتفاع إجهاد القص وينخفض بزيادة النسبة L/R .

تاريخ الإيداع: 2023/09/18
تاريخ الموافقة: 2023/12/11



حقوق النشر: جامعة دمشق -
سوريا، يحتفظ المؤلفون بحقوق
النشر بموجب الترخيص
CC BY-NC-SA 04

الكلمات المفتاحية: بوليمر PLA/PC، خواص ريلوجية، طاقة تنشيط الجريان، مرنة.

The effect of stresses and high shear rates on the flow behavior of a mixture of polylactic acid and polycarbonate (50/50) in the molten state

**Khatoon Khalil Al-Hamad^{*1}, Fawaz Ahmad Al-Derii²,
Basela Ahmed Ibrahim³**

¹ PhD Student, Chemistry Department, Faculty of Science, Damascus University, Damascus, Syria, khatoon.alhamad@damascusuniversity.edu.sy

² Professor Dr, Chemistry Department, Faculty of Science, Damascus University, The rheology of plastics, AL-Deri@damascusuniversity.edu.sy.

³ Professor Dr, Chemistry Department, Faculty of Science, Damascus University, Cellulose chemistry, basela.Ibrahim@damascusuniversity.edu.sy.

Abstract:

A blend of Poly(lactic acid) and polycarbonate PLA/PC in a ratio of (50/50) in the molten state was prepared under the influence of high temperatures and shear stresses using a capillary rheometer, The apparent shear stress transformations were plotted against apparent shear rate at various temperatures (170, 180, 190, 200)⁰C. The flow index (n) values for the studied blend were determined, revealing that the blend belongs to the pseudoplastic plastics family ($n < 1$), pressure-volume curves were studied by examining the changes in pressure transformations (Pc) with respect to the ratio of length to radius L/R, and a value of ($e = 14$) was determined, Based on these data ,the true viscosity was determined η_c , showing that the true viscosity decreases with increasing shear stress and high shear rates.

To determine the flow activation energy, viscosity transformations were studied with the inverse of temperature at constant shear stress and constant shear rate, It was found that the flow activation energy at constant shear stress is greater than that at constant shear rate, attributed to the lesser impact of viscosity changes in this case.

The elasticity of the studied blend was examined using the (Barus) technique, revealing that the swelling rate (B) increases with higher shear stress and decreases with an increase in the ratio L/R.

Keywords: PLA/PC polymer blend, rheological properties, flow activation energy, elasticity.

Received :2023/09/18
Accepted:2023/12/11



Copyright: Damascus University- Syria, The authors retain the copyright under a CC BY- NC-SA

المقدمة (Introduction)

كان هناك الكثير من التقدم في مجال المزائج البوليميرية في السنوات الأخيرة وتم تطويرها لتلبية المتطلبات مثل: صفات أفضل تلبي الجانب التطبيقي، مقاومة أكبر للتشوه في درجات الحرارة المرتفعة، ومقاومة أفضل للعوامل الفيزيائية والكيميائية، يمكن تعديل المادة البوليميرية النهائية بإضافة كميات صغيرة من المكونات الأخرى لتحقيق الخصائص المرغوبة. يمكن خلط جميع المكونات بنسب مختلفة لإنتاج مزائج جديدة بخصائص مختلفة تماماً (Wnuczek et al., 2021).

تنتمي مزائج البولимер إلى صنف من المواد يتم فيها مزج ما لا يقل عن اثنين من البوليمرات معًا لانتاج مادة ذات خصائص فيزيائية مختلفة (Wnuczek et al., 2014 ; Parameswaranpillai et al ., 2014).

في هذا العمل تم مزج كلاً من بولي حمض اللبن (PLA) وبولي كربونات (PC) في الحالة الصلبة، وبعد ذلك تم دراسة الخواص البوليميرية في الحالة المنصهرة، وبولي حمض اللبن (PLA) هو بولي أستر قابل للتحلل الحيوي و مشتق من مصادر متعددة (النشاء والسكر) (Gu et al., 2018)، استخدام PLA في المجال الطبي كمواد تمكين العظام و الأنسجة و الخيوط المستخدمة في قطب الجروح و كمادة حاملة للدواء (Martinez Villadiego et al., 2022; Hamod., 2015; Correia Pinto et al., 2017).

ومن طرائق التشكيل المعروفة لبولي حمض اللبن القولبة بالحقن والبثق والتشكيل الحراري للحاويات والأكواب وبثق الأفلام والألياف (Hamad et al., 2014; Weber et al., 2002; Siebott., 2007).

وفي دراسات سابقة تم توصيف البولي كربونات PC في الحالة المنصهرة والصلبة وتعد هذه البوليمرات من الناحية الكيميائية بولي إسترات حمض الكربون ناتجة عن بلمرة تكافعية لملح البيس فينول _ A مع الفوسجين (ثنائي كلور الكربونيل) بوجود محل عضوي، تكون المواد المصنوعة من البولي كربونات شفافة و مقاومة للحرارة والكسر و مقاومة للضوء والماء والدهون والأملاح، تتحل بالعديد من المذيبات وهي ثابتة حرارياً ويمكن قولبتها في درجات حرارة عالية، ولها صفات كهربائية جيدة ويمكن قولبتها بالفخن والحقن وأيضاً يمكن سحبها وتشكيلها، تستعمل البولي كربونات في العديد من الاستعمالات مثل دروع الوقاية المخبرية وكلوبات إنارة الشوارع وخوذات الوقاية والنظارات الشمسية ومجمعات الطاقة الشمسية ونوافذ الطائرات والمنازل.(Hafad et al., 2021).

المواد والأجهزة المستخدمة (Materials and Devices)

المواد المستخدمة:

بوليمر بولي حمض اللبن مستورد من شركة Bright China Industrial Company ، كثافته 1.25 g/cm^3 ، معامل السيولة MFI=12.5 g/10 min(190C⁰/2.18Kg)

بوليمر بولي كربونات مستورد من شركة Korea Kumho Petrochemical Co ، كثافته 1.04 g/cm^3 ، معامل السيولة MFI=50 g/10 min(200C⁰/21.6Kg)

القسم العملي:

1. طريقة تحضير المزيج:

حضر مزيج من (PLA/PC) بنسبة (50/50) باستخدام آلة بثق بلوبل وحيد (Hamad et al., 2011) ، بثق المزيج من خلال قالب معدني بطول 4 سم وقطر 3 مم، حيث تتدفع المواد إلى آلة تحبيب ليصار إلى تحبيبها.

أجريت الدراسة بمخبر ريلوجيا المواد عند درجات الحرارة (200, 190, 180, 170) °C ، وباستخدام مقياس الزوجة ذي القالب الشعري المعدني (Déri et al., 1989) وذلك باستخدام أربعة قوالب معدنية أبعادها كما هو موضح بالجدول (1):

الجدول (1): أبعاد القوالب الشعرية المستخدمة

ال قالب الشعري	1	2	3	4
طول القالب الشعري L (mm)	0.8	1.4	2.4	3.5
نصف قطر القالب الشعري R(mm)	0.1	0.1	0.1	0.1
L/R	8	14	24	35

2. تعيين إجهادات القص ومعدلات سرعة القص والزوجة:

أنجزت الدراسة باستخدام مقياس الزوجة من خلال تعبئة المادة المراد دراستها داخل المستودع المحاط بسخانات خاصة وعند التوازن الحراري وتحول المادة إلى مصهور يدفع البستون المصهور عبر القالب الشعري تحت تأثير حمولات مختلفة كميات معينة من المصهور ويتم تعيين تدفقه (Q) ومن خلالها يتم حساب معدل سرعة القص الظاهرية (Hamad et al., 2012) (γ_a) وفق العلاقة التالية:

$$\gamma_a = \frac{4Q}{\pi R_c^3} \quad (1)$$

حيث أن:

R_c : نصف قطر القالب الشعري.(cm)

Q : غزارة التدفق الحجمية.(cm^3/sec).

وتحسب من العلاقة:

$$Q = \frac{G_m}{t} \quad (2)$$

حيث: G_m : مقدار انسياب المادة (g)

t : الزمن (sec)

ومن خلال الحمولات يُعين الضغط الظاهري (P) المؤثر والذي أدى إلى توليد سرعة القص وفق العلاقة التالية:

$$P_a = \frac{G \cdot 981}{\pi R^2} \quad (3)$$

حيث: G : التقل المطبق على المكبس (g)

$R = 0.5\text{cm}$: نصف قطر البستون

ومن خلال قيم الضغط عند حمولات مختلفة يتم تعيين قيم إجهادات القص الظاهرية (τ_a) الموافقة وفق العلاقة التالية:

$$\tau_a = \frac{PR}{2L} \quad (4)$$

حيث: P : الضغط (dyne/cm^2)

R : نصف قطر القالب الشعري (cm).

L : طول القالب الشعري (cm).

ومنه يمكن تعيين الزوجة الظاهرية (η_a) من العلاقة التالية: (Hamad et al., 2010)

$$\eta_a = \frac{\tau_a}{\gamma_a} \quad (\text{poise}) \quad (5)$$

ـ تعيين الزوجة الحقيقة η_c :

لتعيين الزوجة الحقيقة لابد من اجراء تصحيح باكلي:

ويستند مبدأ باكلي من ملاحظة تراص الجزيئات المجمعة عند مدخل القالب الشعري يحدث ما يشبه الاضطراب في حركتها ويسبب هذا الاضطراب إعاقة في دخول الجزيئات إلى القالب الشعري مما يسبب انخفاض في قيمة الضغط المطبق، ولحساب الضغط المفقود استخدمت مجموعة من القوالب الشعرية ذات أقطار متساوية وأطوال مختلفة كما هو موضح بالجدول (1).

وبتعيين العلاقة بين الضغط (P_c) و L/R_c عند قيم معينة لسرعات قص ظاهرية يتم تعين قيمة (e) وذلك عند الدرجة (200°C).

وبالتالي يتم تعين إجهاد القص الحقيقي (Bagley., 1957) وفق العلاقة التالية:

$$\tau_c = \frac{P_c}{2 \left(\frac{L}{R_c} + e \right)} \quad (6)$$

حيث: τ_c : إجهاد القص الحقيقي.

P_c : الضغط الحقيقي داخل قناة القالب الشعري.

e : معامل تصحيح باكلي.

L/R_c : أبعاد القالب الشعري المستخدم.

فمعدل سرعة القص الحقيقي γ_c .

$$\gamma_c = \frac{(3n+1)}{4n} \cdot \gamma_a \quad (7)$$

ومن اجهاد القص الحقيقي τ_c ومعدل سرعة القص الحقيقة γ_c يمكن تعين الزوجة الحقيقة وفق العلاقة التالية:

$$\eta_c = \frac{\tau_c}{\gamma_c} \quad (8)$$

حيث أن: γ_c : سرعة القص الحقيقة (sec^{-1}).

n : دليل لجريان.

γ_a : سرعة القص الظاهرية (sec^{-1}).

ـ طاقة تنشيط الجريان النزج:

تسلك المواد سلوك سائل نيوتيني عندما يكون إجهاد القص ($\tau_a < 10^3 \text{ Pa}$) وسرعة قص ($\gamma_a < 10^3 \text{ s}^{-1}$) يتم دراسة طاقة تنشيط الجريان من خلال تحولات الزوجة بدلالة مقلوب درجة الحرارة وفق علاقة أرينوس من النموذج (Kaseem et al., 2011).

$$\eta = A \cdot e^{\frac{E_T}{R \cdot T}} \quad (9)$$

$$\eta = A \cdot e^{\frac{E_\gamma}{R \cdot T}} \quad (10)$$

$$\ln \eta = \ln A + \frac{E}{R \cdot T} \quad (11)$$

حيث أن: E_τ : طاقة تنشيط الجريان عند اجهاد قص ثابت (kcal/mol).

E_γ : طاقة تنشيط الجريان عند سرعة قص ثابت (kcal/mol).

A : ثابت أرينوس.

R : ثابت الغازات العام ($R=1.987 \text{ cal.mol}^{-1}.\text{K}^{-1}$).

T : درجة الحرارة المطلقة (K).

طاقة تشيط الجريان عند اجهاد قص ثابت أو معدل سرعة قص هي الطاقة الأضافية اللازمة لتجنب التدافع بين الجزيئات المنصهرة في قناة مقاييس الزوجة والقالب الشعري وتمثل هذه الطاقة الطاقة الحرة لتبدأ الجزيئات ارتحالها من مكان آخر.

4 - دراسة المرونة:

- الانفاخ عند خروج المتصهور من قناة القالب الشعري أو ما يسمى معدل الانتفاخ أو معامل باروس (B) (Barus):
 يعود الانفعال المرن في الحالة المنصهرة إلى طبيعة البوليمرات والعوامل الفاصلة كالقوى الناظمية والمماسية، فعند انفاس الصهارة في قناة القالب الشعري والاسطوانة الداخلية في مقاييس الزوجة تتحرر الجزيئات عند خروجها من قناة القالب الشعري ويتعلق هذا التحرر بطول القالب الشعري والحرارة واجهادات القص المؤثرة فيناتها نوع من الاضطراب المرن نتيجة هذا التحرر يتجلّى باتساع قطرها وهو ما نطق عليه بانتفاخ المادة أو معامل باروس (B) حيث يتم قياسه حسب العلاقة التالية (Kaseem et al., 2012) [17] وفق العلاقة التالية:

$$B = \frac{D}{D_0} \quad (12)$$

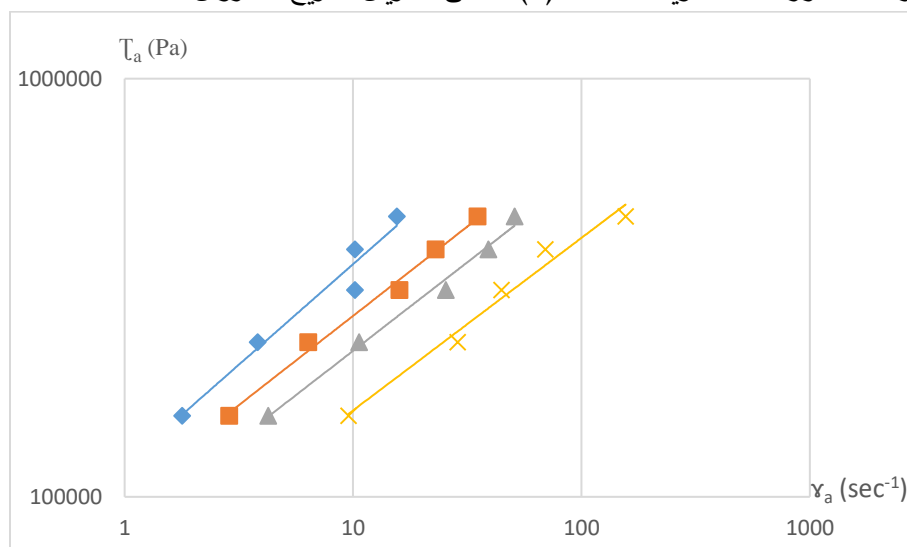
D - قطر العينة المنصهرة بعد خروجها من القالب الشعري.

D_0 - قطر القالب الشعري.

النتائج والمناقشة (Results and Discussion)

بيانى الجريان:

وفقاً للمعطيات التجريبية لكل من إجهاد القص الظاهري γ_a وسرعة القص الظاهيرية T_a رُسمت تحولات إجهاد القص الظاهري بدلالة سرعة القص الظاهيرية عند درجات الحرارة المطبقة ويمثل الشكل (1) منحنى الجريان للمزيج المدروس.



الشكل (1): تحولات إجهاد القص الظاهري γ_a بدلالة سرعة القص الظاهيرية T_a للمزيج (50/50) PLA/PC [170, 180, 190, 200]

ويؤيد هذا الشكل في تحديد سلوك الجريان للمزيج المدروس، ويؤيد في تعين دليل الجريان n عند درجات الحرارة المدروسة وفق العلاقة الآتية:

$$n = \frac{d(\log \tau_a)}{d(\log \gamma_a)} \quad (13)$$

ويبين الجدول (2) قيم دليل الجريان n للمزيج المدروس:

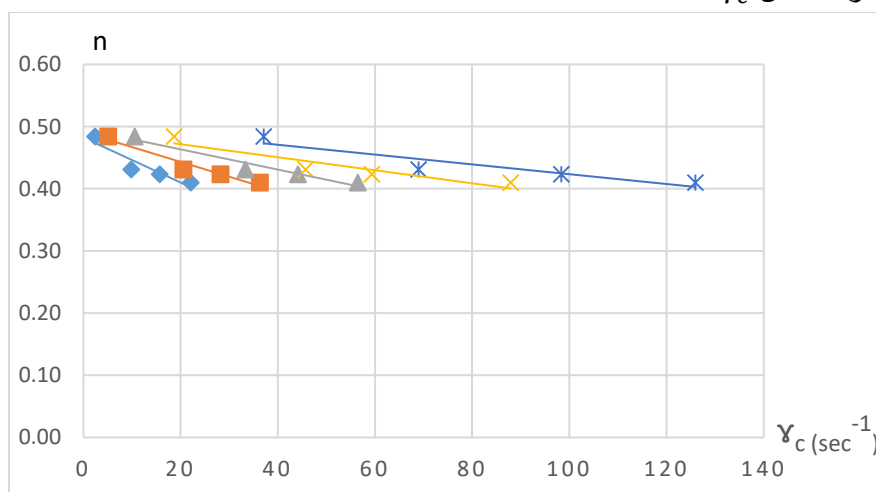
الجدول (2): قيم دليل الجريان n عند درجات الحرارة المطبقة

درجة الحرارة $^{\circ}\text{C}$	n	نسبة الانحراف
200	0.41	
190	0.42	
180	0.43	
170	0.48	
	n	
0.59	0.58	0.57
		0.52

تفيد قيم دليل الجريان في معرفة وتعيين:

- ❖ مدى انحراف الجريان عن قانون نيوتن. أي إمكانية التعرف عن مدى الانحراف عن السوائل النيوتونية ($n=1$) فمنها ما يتبع السلوكية النيوتونية ومنها ما يتبع سلوكية المواد الممدة ($n>1$) ومنها يتبع سلوكية المواد الشبيهة بالبلاستيك ($n<1$).
- ❖ تغير اللزوجة بتغير معدل سرعة القص
- ❖ معدل سرعة القص الحقيقة
- ❖ تحديد نوع الجريان للمواد المدروسة
- ❖ تقصي معلومات عن توزع الوزن الجزيئي

تظهر قيمة n عند درجات حرارة معينة وإجهادات القص المطبقة أنها أقل من الواحد ($n<1$) وهو ما يثبت أن المادة المدروسة عند الشروط المطبقة تسلك سلوك المواد الشبيهة بالبلاستيك، أي أن لزوجتها تنخفض مع ارتفاع معدل سرعة القص، ويبين الشكل (2) تحولات n بدلالة معدل سرعة القص γ_c :



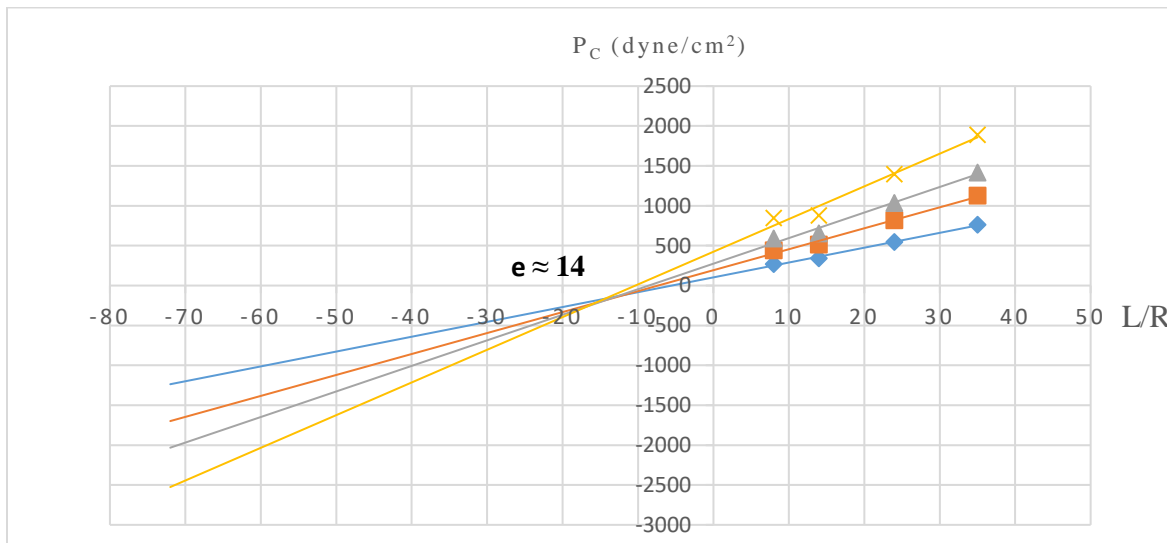
الشكل (2): تحولات قيم دليل الجريان n بدلالة سرعة القص الحقيقة γ_c للمزيج (50/50) PLA/PC

[$T(^{\circ}\text{C})$: (♦)170, (■)180, (▲)190, (×)200]

نلاحظ من الشكل (2) انخفاض قيم n بدلالة ارتفاع معدل سرعة القص، أي أن دليل الجريان يتماشى مع حساسية معدل سرعة القص عدد ارتفاع درجات الحرارة.

بيانات الزوجة الحقيقة η_c :
مستقيمات باكري:

درست خواص الزوجة من خلال تعريف سرعة القص الظاهري γ_a وإجهاد القص الظاهري τ_a والزوجة الظاهري η_a ، ولتعيين الزوجة الحقيقة η_c لا بد من دراسة منحنيات باكري وذلك بدراسة تحولات الضغط P_c بدلالة النسبة L/R ، قمنا بتحديد قيمة (e) ، وتم حساب إجهاد القص الحقيقي من العلاقة (6). ويمثل الشكل (3) تحولات الضغط الحقيقي P_c بدلالة النسبة L/R للمزيج المدرس عند درجة الحرارة (200°C).



الشكل (3): مستقيمات باكري – تحولات الضغط P_c بدلالة النسبة L/R للمزيج (PLA/PC(50/50)

$$\gamma_a(\text{sec}^{-1})[(\diamond)10, (\blacksquare)50, (\blacktriangle)100, (\times)150]$$

بعد أن حسب إجهاد القص الحقيقي τ_c وسرعة القص الحقيقي γ_c أصبح بالإمكان تعريف الزوجة الحقيقة η_c وفق العلاقة (8) ، وتبيّن الجداول (6, 4, 5, 6) قيم إجهاد القص الحقيقي τ_c وسرعة القص الحقيقة γ_c والزوجة الحقيقة η_c :

الجدول (3) قيم (τ_c , γ_c , η_c) عند الدرجة (170°C) وال قالب (L/R=8).

المزيج	G(Kg)	G _m (g)	P _c (Pa)	τ_c (pa)	γ_c (sec ⁻¹)	η_c (pa.s)
PLA/PC 50/50	2	0.07	2.40E+06	2.64E+07	2.27E+00	1.16E+07
	3	0.15	3.60E+06	3.96E+07	4.86E+00	8.15E+06
	4	0.35	4.80E+06	5.28E+07	1.13E+01	4.66E+06
	5	0.48	6.00E+06	6.60E+07	1.55E+01	4.25E+06
	6	0.61	7.20E+06	7.92E+07	1.97E+01	4.01E+06

الجدول (4) قيم (τ_c , γ_c , η_c) عند الدرجة (180°C) وال قالب (L/R=8).

المزيج	G(Kg)	G _m (g)	P _c (Pa)	τ_c (pa)	γ_c (sec ⁻¹)	η_c (pa.s)
PLA/PC 50/50	2	0.09	2.40E+06	2.64E+07	3.83E+00	6.89E+06
	3	0.20	3.60E+06	3.96E+07	8.51E+00	4.65E+06
	4	0.50	4.80E+06	5.28E+07	2.13E+01	2.48E+06
	5	0.72	6.00E+06	6.60E+07	3.06E+01	2.15E+06
	6	1.10	7.20E+06	7.92E+07	4.68E+01	1.69E+06

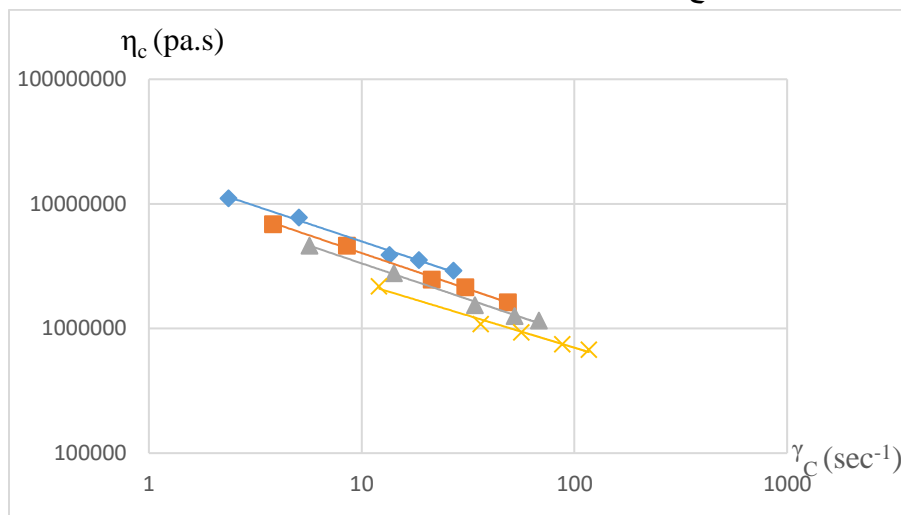
الجدول (5) قيم (τ_c) , (η_c) عند الدرجة (190°C) وال قالب $(L/R=8)$.

المزيج	$G(\text{Kg})$	$G_m(\text{g})$	$P_c(\text{Pa})$	$\tau_c(\text{pa})$	$\gamma_c(\text{sec}^{-1})$	$\eta_c(\text{pa.s})$
PLA/PC 50/50	2	0.10	2.40E+06	2.64E+07	5.69E+00	4.64E+06
	3	0.25	3.60E+06	3.96E+07	1.42E+01	2.78E+06
	4	0.60	4.80E+06	5.28E+07	3.42E+01	1.55E+06
	5	0.92	6.00E+06	6.60E+07	5.24E+01	1.26E+06
	6	1.20	7.20E+06	7.92E+07	6.83E+01	1.16E+06

الجدول (6) قيم (τ_c) , (η_c) عند الدرجة (200°C) وال قالب $(L/R=8)$.

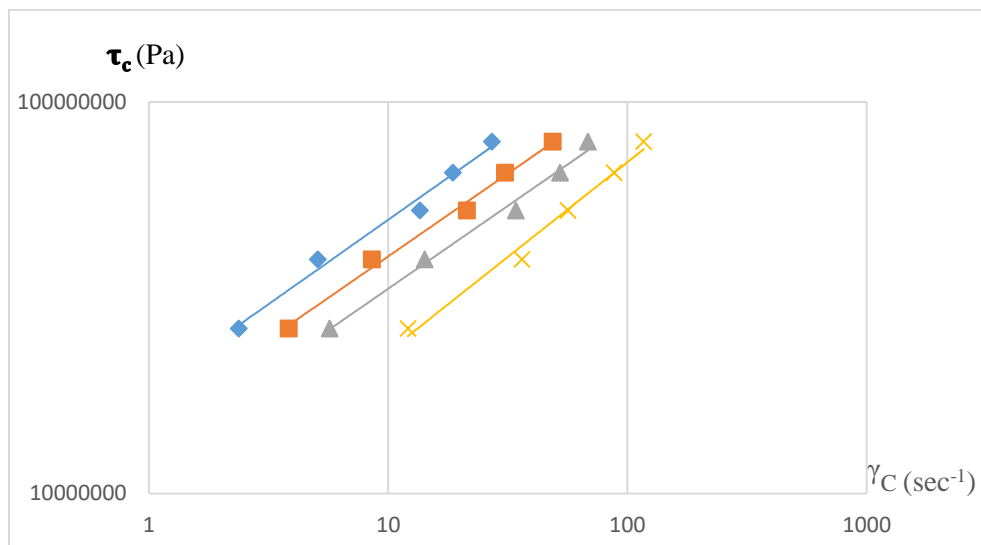
المزيج	$G(\text{Kg})$	$G_m(\text{g})$	$P_c(\text{Pa})$	$\tau_c(\text{pa})$	$\gamma_c(\text{sec}^{-1})$	$\eta_c(\text{pa.s})$
PLA/PC 50/50	2	0.15	2.40E+06	2.64E+07	1.30E+01	2.04E+06
	3	0.45	3.60E+06	3.96E+07	3.89E+01	1.02E+06
	4	0.70	4.80E+06	5.28E+07	6.05E+01	8.73E+05
	5	1.09	6.00E+06	6.60E+07	9.41E+01	7.01E+05
	6	2.45	7.20E+06	7.92E+07	2.12E+02	3.74E+05

يبين الشكل (4) تحولات الزوجة الحقيقة η_c بدلالة سرعة القص الحقيقة γ_c ، تبين لدينا من الشكل (4) انخفاض الزوجة مع زيادة سرعة القص حيث يقترب سلوكها من الموائع الشبيهة بالبلاستيك.



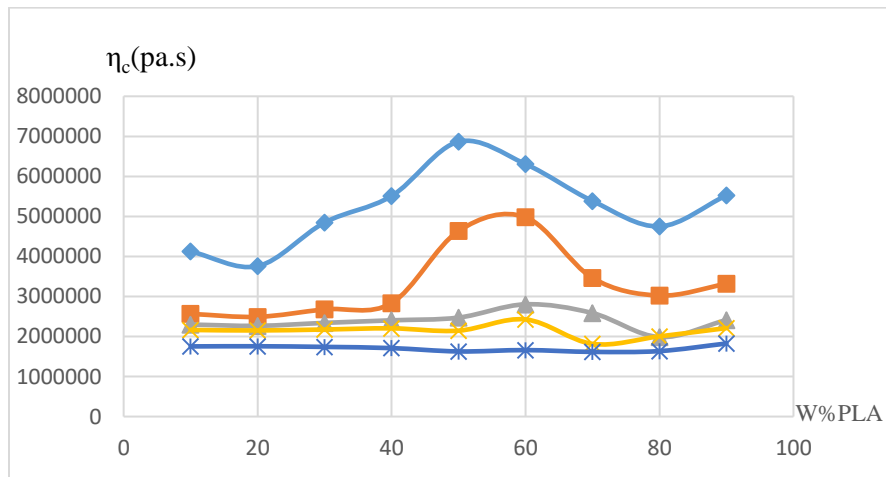
الشكل (4): تحولات الزوجة الحقيقة η_c بدلالة سرعة القص الحقيقة γ_c للمزيج PLA/PC(50/50) للمزيج $T(^{\circ}\text{C})[(\blacklozenge)170,(\blacksquare)180,(\blacktriangle)190,(\times)200]$

ويبين الشكل (5) تحولات إجهاد القص الحقيقي τ_c بدلالة سرعة القص الحقيقة γ_c عند درجات الحرارة المطبقة، ويفيد هذا الشكل في تحديد سلوك جريان للمزيج المدروس



الشكل (5): تحولات إجهاد القص الحقيقي τ_c بدلالة سرعة القص الحقيقية γ_c للمزيج (PLA/PC(50/50))
[T(°C)] [170, (♦)180, (■)180, (▲)190, (×)200]

تمت دراسة تغير تحولات الزوجة الحقيقة η_c بدلالة نسب المزج المدروسة W%PLA عند درجة الحرارة (180°C) وال قالب (L/R = 8) وذلك عند اجهادات قص ثابتة، ويظهر الشكل (6) أن الزوجة تمر بنهايات عظمى ونهائيات صغرى تمنح الإمكانيه لاختيار المزج المناسب لكل عملية تشكيل.



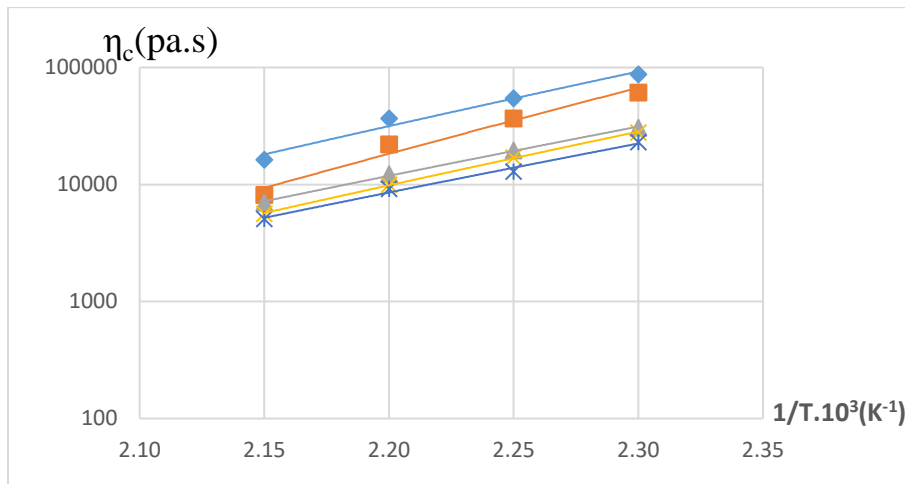
الشكل (6): تحولات الزوجة η_c بدلالة نسب المزج W%PLA عند درجة حرارة (180 °C)

$$\tau_a (\text{dyne/cm}^2) [(\diamond) \tau_a 1; 56 \cdot 10^5, (\blacksquare) \tau_a 2; 34 \cdot 10^5, (\times) \tau_a 3; 12 \cdot 10^5, (*) \tau_a 4; 91 \cdot 10^5, (\square) \tau_a 5; 69 \cdot 10^5]$$

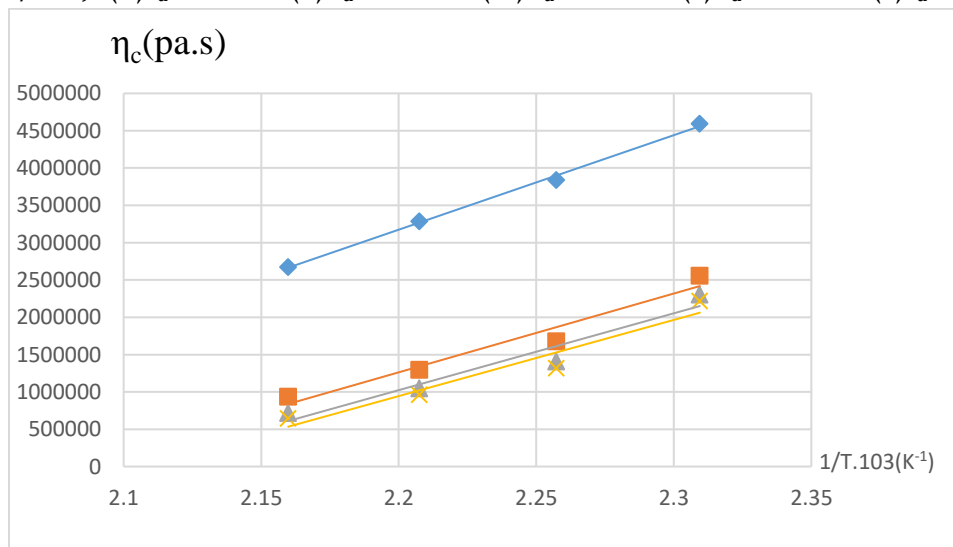
نلاحظ أيضاً من تحولات الزوجة الحقيقة بدلالة نسب المزج بأن النهايات العظمى والصغرى تظهر بشكل أوضح عند إجهادات القص (أكبر مما عليه عند إجهادات القص الثانية) (T_a1 = 56*10^5 dyne/cm², T_a2 = 34*10^5 dyne/cm², T_a3 = 12*10^5 dyne/cm², T_a4 = 91*10^5 dyne/cm², T_a5 = 69*10^5 dyne/cm²)، بمعنى أن صهارة البوليمير تقترب من السلوكية النيوتونية وتبع عن سلوكية الجريان.

تعيين طاقة تنشيط الجريان للزنج:

درست تحولات الزوجة الحقيقة بدلالة مقلوب درجة الحرارة المطلقة تحت تأثير إجهاد قص ثابت أو سرعة قص ثابتة بالاعتماد على علاقة أرينوس. ويمثل الشكلان (7) و(8) تحولات الزوجة الحقيقة بدلالة مقلوب درجة الحرارة المطلقة للمزيج المدروس تحت تأثير إجهاد قص ثابت وسرعة قص ثابتة:

الشكل (7) تحولات (η_c) بدلالة ($1/T$) للمزيج (1)

τ_a (dyne/cm²) [(♦) τ_a 1; $56 \cdot 10^5$, (■) τ_a 2; $34 \cdot 10^5$, (▲) τ_a 3; $12 \cdot 10^5$, (x) τ_a 3; $91 \cdot 10^5$, (*) τ_a 4; $69 \cdot 10^5$]

الشكل (8) تحولات (η_c) بدلالة ($1/T$) للمزيج (1)

γ_a (Sec⁻¹) [(♦) 10, (■) 50, (▲) 100, (x) 150]

ومن هذه الأشكال نتمكن من تعين طاقة تنشيط الجريان عند إجهاد قص ثابت أو سرعة قص ثابتة، وبين الجدول (7) قيم طاقة التنشيط عند إجهاد قص ثابت وسرعة قص ثابتة للمزيج المدروس:

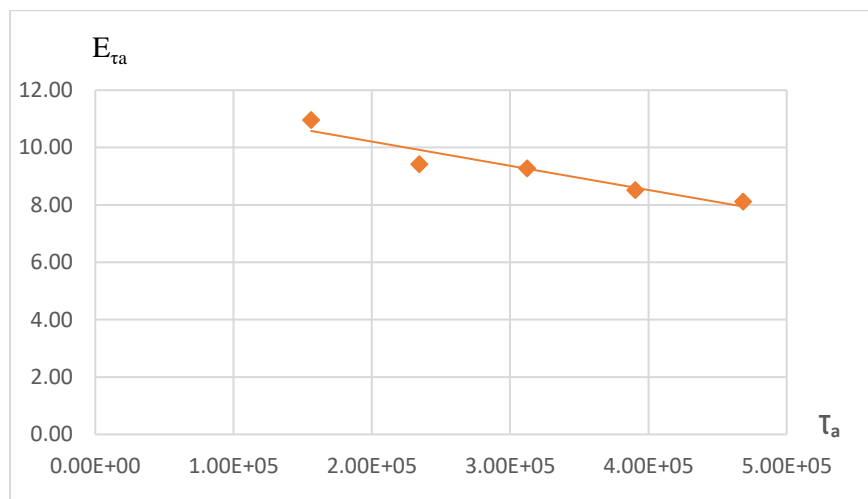
الجدول (7): قيم طاقة تنشيط الجريان عند ثبات τ_a أو γ_a

τ_a (dyne/cm ²)	1.56E+05	2.34E+05	3.12E+05	3.91E+05	4.69E+05
E_{τ_a} (kcal/mol)	10.96	9.42	9.28	8.52	8.12
γ_a (sec ⁻¹)	10	50	100	150	-
$E\gamma_a$ (kcal/mol)	5.10	5.71	6.60	6.99	-

تعبر طاقة تنشيط الجريان للنوج على مدى حساسية لزوجة المادة تجاه تغير درجة الحرارة، فكلما كانت قيمة طاقة تنشيط الجريان للنوج أكبر زادت حساسية لزوجة المادة نحو تغير درجة الحرارة والعكس صحيح.

وتشير قيم طاقة تنشيط الجريان الواردة في الجداول السابقة للبوليمرات المدروسة والبوليمرات المأخوذة من المراجع بأنها تقارب من بعضها البعض على الرغم من قيم الوزن الجزيئي المتباين من بوليمر آخر والذي يمكن منه الاستنتاج بأن طاقة تنشيط الجريان لا تتعلق بالوزن الجزيئي وهو ما أشارت إليه المراجع العلمية (F. RAMSTEINER . A . S . LODGE 1964, 1972 ..).

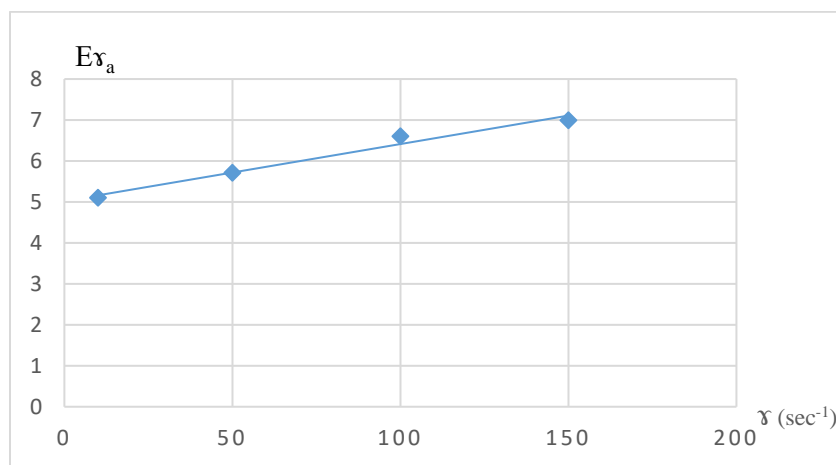
نلاحظ من الجدول (7) أن قيم طاقة تنشيط الجريان تتحفظ بارتفاع إجهاد القص وتزداد بارتفاع سرعة القص، وتكون طاقة تنشيط الجريان عند إجهاد قص ثابت أكبر منها عند سرعة قص ثابتة، ويعود ذلك إلى أن تغير الزوجة أقل تأثيراً عند سرعات قص مما هو عليه عند أجهادات القص ولا سيما العالية منها، ويبين الشكل (9) تحولات طاقة تنشيط الجريان $E_{\tau a}$ بدلالة إجهاد القص τ_a عند درجات الحرارة 0C (170, 180, 190, 200):



الشكل (9) تحولات $E_{\tau a}$ بدلالة (τ_a) للمزيج (PLA/PC(50/50) للنوج

$$\tau_a (\text{dyne/cm}^2) [(\diamond) \tau_a 1; 56 \cdot 10^5, (\blacksquare) \tau_a 2; 34 \cdot 10^5, (\blacktriangle) \tau_a 3; 12 \cdot 10^5, (\times) \tau_a 3; 91 \cdot 10^5, (*) \tau_a 4; 69 \cdot 10^5]$$

نلاحظ من الشكل (9) بأن هنالك انخفاض في معدل طاقة تنشيط الجريان عند تأثير ارتفاع معدل اجهادات القص، أي أن الإجهادات تمثل إلى تعديل سلوكية تدفق المادة المنصهرة، ويبين الشكل (10) تحولات طاقة تنشيط الجريان $E_{\gamma a}$ بدلالة معدل سرعة القص γa عند درجات الحرارة 0C (170, 180, 190, 200):

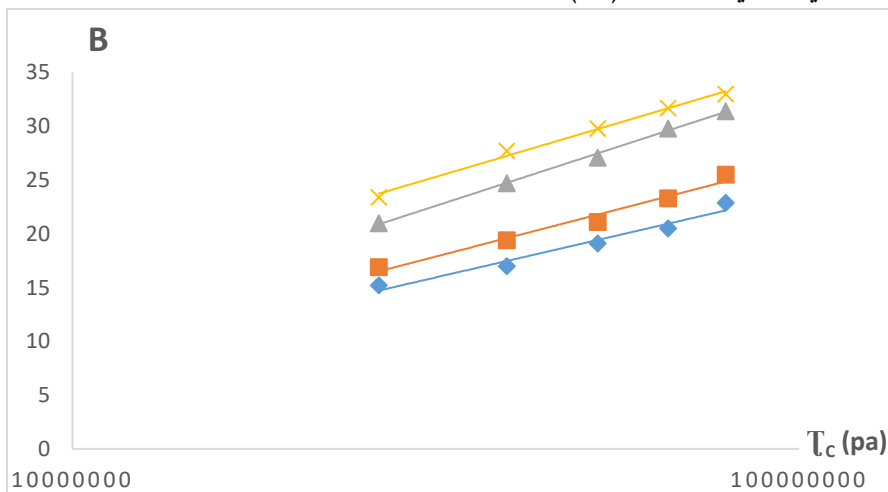


الشكل (10) تحولات E_{γ_a} بدلالة (γ_a) للمزيج (E_{γ_a}) [10, 150, 50, 100] Sec^{-1}

نلاحظ من الشكل (10) بأن هنالك ارتفاع في طاقة التشغيل لتعديل سلوك التدفق للمادة المنصهرة، لأن معدلات سرعة القص حساسة جداً عند تأثير اجهادات القص بشكل عام على سلوكية الجريان ولأن معدلات سرعة القص تكون أقل تأثيراً مما عليه في حالة الاجهادات المماسية ومنه لابد من طاقة تشغيل لتعديل سلوكية الجريان.

دراسة المرونة:

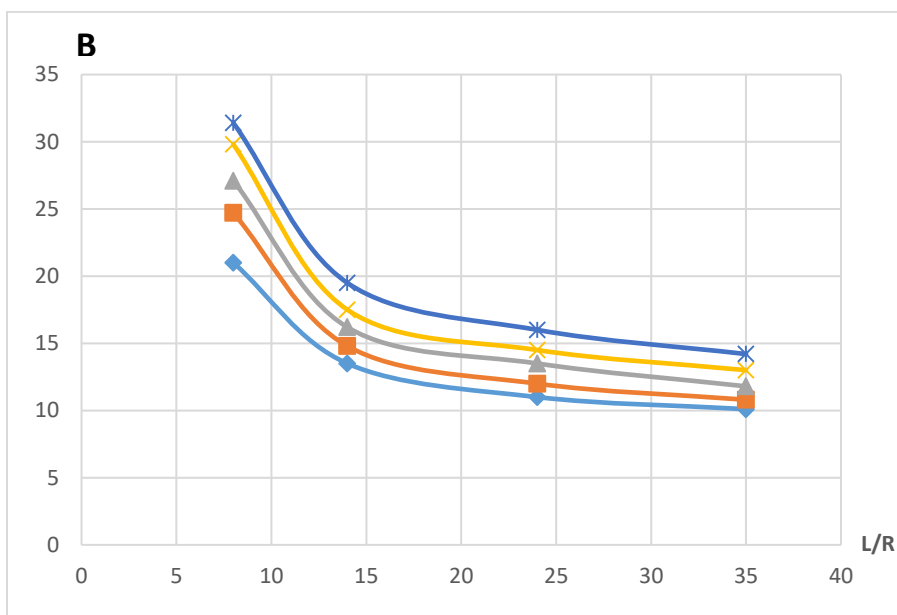
درست مرونة المادة المدروسة باستخدام تقانة باروس وذلك بقياس قطر المادة بعد خروجها من القالب الشعري وتم تغير القطر على بعد 1 سم من نهايات العينة بعد تبريدها، ويمثل الشكل (11) تحولات B بدلالة إجهاد القص σ_c عند درجات حرارة معينة:



الشكل (11): تحولات B بدلالة إجهاد القص الحقيقي σ_c للمزيج (B) [170, 180, 190, 200] pa

نلاحظ من الشكل (11) أن معدل الانفصال B يرتفع بارتفاع إجهاد القص الحقيقي.

ويمثل الشكل (12) تحولات B بدلالة R/L عند درجات الحرارة 0°C (170, 180, 190, 200).



الشكل (12): تحولات B بدلالة النسبة L/R للمزيج PLA/PC(50/50)

$$\tau (Pa): [(\diamond)2.5 \times 10^6, (\blacksquare)3.75 \times 10^6, (\blacktriangle)5 \times 10^6, (\times)6.25 \times 10^6, (*)7.5 \times 10^6]$$

نلاحظ من الشكل (12) أن معدل الانفراخ B ينخفض ثم يصبح أكثر استقراراً بازدياد نسبة L/R أي أنه عند ازدياد طول القالب سوف يحدث استرخاء للجهد بشكل أكبر مما يؤدي إلى انخفاض الإجهادات المتبقية في الصهارة عند مغادرة فتحة القناة الشعرية بالقالب، ومن ثم انخفاض في معدل الانفراخ B، وبالتالي تصبح طاقة التشوه للمرنة أكثر ثباتاً كلما كان طول القناة الشعرية أكثر امتداداً وبالعكس فإنه كلما قلَّ امتداد طول القناة الشعرية فإن الطاقة المنتشرة تظهر بشكل حرارة.
ومن خلال الدراسة على العينات المختبرة وجد بأنه لا تأثير ملحوظ على درجات الحرارة.

L/R	$\tau (pa)$	$\gamma (s^{-1})$
8	$1.56 \cdot 10^5$	9.55
8	$2.34 \cdot 10^5$	28.66
8	$3.12 \cdot 10^5$	44.59
8	$3.91 \cdot 10^5$	69.43
8	$4.69 \cdot 10^5$	156.05
8	$5.47 \cdot 10^5$	187.90
8	$6.25 \cdot 10^5$	207.01
8	$7.03 \cdot 10^5$	257.96



الشكل (13): شكل توضيحي للعينة المختبرة عند زيادة إجهاد القص

نلاحظ من الشكل (13) بأنه عند اجهادات القص العالية بأن العينات تعاني نوعاً من التمزق وخشونة في السطح وزيادة في المقطع نتيجة التشوه الحاصل.

الاستنتاجات (Discussion):

- ❖ درست الخواص الريولوجية للمزيج المحضر في الحالة المنصهرة تحت تأثير درجات الحرارة وإجهادات القص العالية. وتبين لدينا أن هذه المزيج ينتمي إلى المواد الشبيهة بالبلاستيك.
- ❖ الزوجة الحقيقية تنخفض مع ارتفاع إجهاد القص ومعدلات سرعة القص العالية.
- ❖ عُينت قيم دليل الجريان n للمزيج المدروس، وتبين لدينا من خلال الدراسة أن المزيج المدروس من فصيلة اللدائن الشبيهة بالبلاستيك ($n < 1$).
- ❖ درست تحولات الزوجة بدلالة مقلوب درجة الحرارة المطلقة وعُينت طاقة تنشيط الجريان بالاعتماد على علاقة ارينوس، وتبين أن طاقة تنشيط الجريان للزوج للمزيج المدروس عند إجهاد قص ثابت أكبر منها عند معدل سرعات القص الثابتة، ويعود ذلك إلى أن تغير الزوجة أقل تأثراً في هذه الحالة.
- ❖ درست مرونة المزيج المحضر باستخدام تقانة باروس ووجد أن معدل الانفاس (B) يزداد بارتفاع إجهاد القص الحقيقي γ ، وينخفض ثم يصبح أكثر استقراراً بازدياد النسبة L/R .
- ❖ تنخفض قيمة دليل الجريان n مع ارتفاع معدل سرعة القص.
- ❖ طاقة تنشيط الجريان عند إجهاد قص ثابت $E_{\tau a}$ تنخفض بارتفاع a ، وعند سرعة قص ثابتة $E_{\gamma a}$ تزداد بارتفاع γ_a لتعديل سلوكية الجريان.
- ❖ عند ارتفاع إجهادات القص العالية تتشوه العينات البوليميرية فيتغير مقطعها وتظهر خشونة على السطح.
- ❖ لا تأثير فعال للحرارة عند دراسة المرونة على العينات المختبرة.

المراجع (References)

1. Wnuczek, K., Puszka, A., Kłapiszewski, Ł., & Podkościelna, B. (2021). Preparation, Thermal, and Thermo-Mechanical Characterization of Polymeric Blends Based on Di (meth) acrylate Monomers. *Polymers*, 13(6), 878..
2. Parameswaranpillai, J., Thomas, S., & Grohens, Y. (2014). Polymer blends: state of the art, new challenges, and opportunities. *Characterization of polymer blends*, 1-6.
3. Gu, L., Nessim, E. E., Li, T., & Macosko, C. W. (2018). Toughening poly (lactic acid) with poly (ethylene oxide)-poly (propylene oxide)-poly (ethylene oxide) triblock copolymers. *Polymer*, 156, 261-269.
4. Martinez Villadiego, K., Arias Tapia, M. J., Useche, J., & Escobar Macías, D. (2022). Thermoplastic starch (TPS)/polylactic acid (PLA) blending methodologies: a review. *Journal of Polymers and the Environment*, 30(1), 75-91.
5. Hamod, H. (2015). Suitability of recycled HDPE for 3D printing filament.
6. Correia Pinto, V., Costa-Almeida, R., Rodrigues, I., Guardão, L., Soares, R., & Miranda Guedes, R. (2017). Exploring the in vitro and in vivo compatibility of PLA, PLA/GNP and PLA/CNT-COOH biodegradable nanocomposites: Prospects for tendon and ligament applications. *Journal of Biomedical Materials Research Part A*, 105(8), 2182-2190.
7. Hamad, K., Ko, Y. G., Kaseem, M., & Deri, F. (2014). Effect of acrylonitrile–butadiene–styrene on flow behavior and mechanical properties of polylactic acid/low density polyethylene blend. *Asia-Pacific Journal of Chemical Engineering*, 9(3), 349-353.
8. Weber CJ, Haugaard V, Festersen R, Bertelsen G (2002) Production and applications of biobased packaging materials for the food industry. *Food Addit Contam* 19:172–177.
9. Siebott V (2007) PLA—the future of rigid packaging. *Bioplastics Mag* 2:28–9.
10. Hafad, S. A., Hamood, A. F., AlSalihi, H. A., Ibrahim, S. I., Abdullah, A. A., Radhi, A. A., ... & Alogaidi, B. R. (2021, August). Mechanical properties study of polycarbonate and other thermoplastic polymers. In *Journal of Physics: Conference Series* (Vol. 1973, No. 1, p. 012001). IOP Publishing.
11. Hamad, K., Kaseem, M., & Deri, F. (2011). Rheological and mechanical characterization of poly(lactic acid)/polypropylene polymer blends. *Asia-Pacific Journal of ORIGINAL PAPER, J Polym Res* 18, 1799-1806.
12. Déri, F., Aldeyab, S., & Majid, B. (1989). Correlation Pratique et Mathématique de l'Énergie d Activation de l' Écoulement pour le Polyéthylène Basse-Densité, Polyéthylène Haute-Densité, Polystyrène et d'Autres Polyoléfines. *Die Angewandte Makromolekulare Chemie* (173) 1-13 (Nr. 2581).
13. Hamad, K., Kaseem, M., & Deri, F. (2012). Preparation and characterization of binary and ternary blends with poly (lactic acid), polystyrene, and acrylonitrile-butadiene-styrene.
14. Hamad, K., Kaseem, M., & Deri, F. (2010). Rheological and mechanical properties of poly (lactic acid)/polystyrene polymer blend. *Polymer bulletin*, 65, 509-519.
15. Bagley E . B (1957) End corrections in the capillary flow of polyethylene. *J Appl Phys* 28:624-627 .
16. Kaseem, M., Deri, F. (2011). Preparation and Characterization of Acrylonitrile – Butadiene – Styrene/ Corn Starch Composites. *Malaysian Polymer Journal*, 27(2), 43-48.
17. Kaseem, M., Hamad, K., & Deri, F. (2012). Preparation and studying properties of thermoplastic starch/acrylonitrile–butadiene–styrene blend. *International Journal of Plastics Technology*, 16, 39-49.
18. F. RAMSTEINER – Kunststoffe , 62 , 766 (1972).
19. A . S . LODGE : “ Elastic liquids “ – Academic Press – New – York 1964.